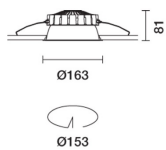


Letzte Aktualisierung der Informationen: März 2025

Produktkonfiguration: QW12.F8

QW12.F8: Ø 163 mm - Neutral White - DALI - UGR<19 - 24.4W 2822lm - 4000K - Schwarz/transparent/chrom



Produktcode

QW12.F8: Ø 163 mm - Neutral White - DALI - UGR<19 - 24.4W 2822lm - 4000K - Schwarz/transparent/chrom

Beschreibung

Festinstallierte Rundleuchte für den Einsatz von LED-Lichtquellen mit CoB-Technologie. Version mit Rahmen zur aufgesetzten Installation. Reflektor aus Thermoplast mit Prismenstruktur komplett mit Lichtstromverstärker und Blendschutz in der Optikmitte. Der Blendschutz besteht aus Thermoplast und einer hochglänzenden, aluminiumbedampften und kratzfesten Schutzschicht. Wärmeableiter aus grau lackiertem Aluminiumdruckguss. Die Leuchte ist komplett mit LEDs im Farbton Neutral White 4000K bestückt. Lichtausstrahlung UGR<19 L<3000 cd/m² ideal für Flächen mit Bildschirmarbeitsplätzen.

Installation

Leichte Installation mittels Drehfedern in abgehängte Decken mit einer Stärke von 1 - 25 mm.

Farben

Schwarz/transparent/chrom (F8)

Gewicht (Kg)

0.76

Montage

Deckenanbauleuchte

Verkabelung

Die Leuchte wird komplett mit DALI-Komponenten ausgeliefert.

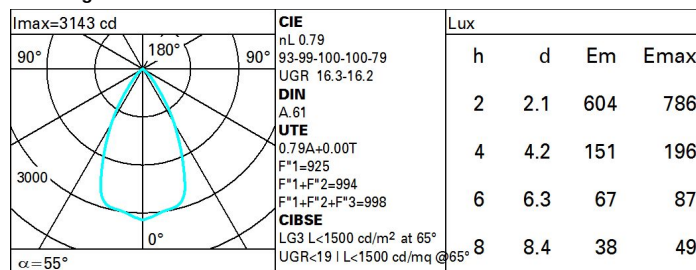
Gemäß der Normen EN60598-1 u. Sondernormen



Technische Daten

| | | | |
|---|-------|-----------------------------------|---------------------------------|
| Im System: | 2686 | Farbtemperatur [K]: | 4000 |
| W System: | 24.4 | MacAdam Step: | 2 |
| Im Lichtquelle: | 3400 | Lebensdauer LED 1: | > 50,000h - L90 - B10 (Ta 25°C) |
| W Lichtquelle: | 21 | Lampencode: | LED |
| Lichtausbeute (lm/W, Systemwert): | 110.1 | Anzahl Lampen in Leuchtengehäuse: | 1 |
| Im im Notlichtbetrieb: | - | ZVEI-Code: | LED |
| abgegebener Lichtstrom bei/ über einem Winkel von 90° [lm]: | 0 | Anzahl Leuchtengehäuse: | 1 |
| Leuchtenbetriebswirkungsgrad 79 (L.O.R.) [%]: | | Control: | DALI-2 |
| CRI (minimum): | 80 | | |

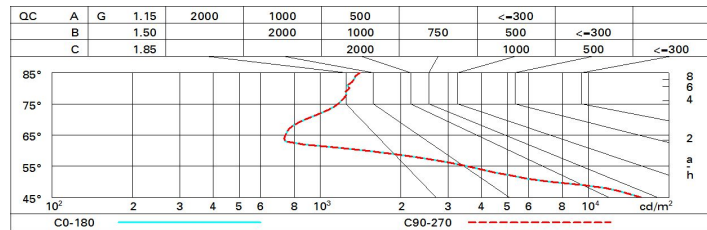
Polardiagramm



Wirkungsgrad

| R | 77 | 75 | 73 | 71 | 55 | 53 | 33 | 00 | DRR |
|------|----|----|----|----|----|----|----|----|-----|
| K0.8 | 69 | 64 | 61 | 59 | 64 | 61 | 60 | 58 | 73 |
| 1.0 | 72 | 68 | 66 | 63 | 68 | 65 | 65 | 62 | 78 |
| 1.5 | 77 | 74 | 71 | 70 | 73 | 71 | 70 | 67 | 85 |
| 2.0 | 79 | 77 | 76 | 74 | 76 | 75 | 74 | 71 | 90 |
| 2.5 | 81 | 79 | 78 | 77 | 78 | 77 | 76 | 74 | 93 |
| 3.0 | 82 | 81 | 80 | 79 | 80 | 79 | 78 | 75 | 96 |
| 4.0 | 83 | 82 | 82 | 81 | 81 | 80 | 79 | 77 | 97 |
| 5.0 | 84 | 83 | 82 | 82 | 82 | 81 | 80 | 78 | 98 |

Söller-Diagramm



UGR-Diagramm

| Corrected UGR values (at 3400 lm bare lamp luminous flux) | | | | | | | | | | | |
|---|------|------------|------|------|------|------|------------|------|------|------|------|
| Reflect.: | | | | | | | | | | | |
| ceil/cav | | 0.70 | 0.70 | 0.50 | 0.50 | 0.30 | 0.70 | 0.70 | 0.50 | 0.50 | 0.30 |
| walls | | 0.50 | 0.30 | 0.50 | 0.30 | 0.30 | 0.50 | 0.30 | 0.50 | 0.30 | 0.30 |
| work pl. | | 0.20 | 0.20 | 0.20 | 0.20 | 0.20 | 0.20 | 0.20 | 0.20 | 0.20 | 0.20 |
| Room dim | | viewed | | | | | viewed | | | | |
| x | y | crosswise | | | | | endwise | | | | |
| 2H | 2H | 16.7 | 17.4 | 17.0 | 17.6 | 17.9 | 16.7 | 17.4 | 17.0 | 17.6 | 17.9 |
| | 3H | 16.6 | 17.2 | 16.9 | 17.5 | 17.7 | 16.6 | 17.2 | 16.9 | 17.5 | 17.7 |
| | 4H | 16.5 | 17.1 | 16.9 | 17.4 | 17.7 | 16.5 | 17.1 | 16.8 | 17.4 | 17.7 |
| | 6H | 16.5 | 17.0 | 16.8 | 17.3 | 17.6 | 16.4 | 16.9 | 16.8 | 17.3 | 17.6 |
| | 8H | 16.4 | 16.9 | 16.8 | 17.3 | 17.6 | 16.4 | 16.9 | 16.8 | 17.2 | 17.6 |
| | 12H | 16.4 | 16.9 | 16.8 | 17.2 | 17.6 | 16.4 | 16.8 | 16.7 | 17.2 | 17.5 |
| 4H | 2H | 16.5 | 17.1 | 16.8 | 17.4 | 17.7 | 16.5 | 17.1 | 16.9 | 17.4 | 17.7 |
| | 3H | 16.4 | 16.9 | 16.8 | 17.2 | 17.5 | 16.4 | 16.9 | 16.8 | 17.2 | 17.6 |
| | 4H | 16.3 | 16.7 | 16.7 | 17.1 | 17.5 | 16.3 | 16.7 | 16.7 | 17.1 | 17.5 |
| | 6H | 16.3 | 16.6 | 16.7 | 17.0 | 17.5 | 16.2 | 16.6 | 16.7 | 17.0 | 17.4 |
| | 8H | 16.3 | 16.6 | 16.7 | 17.0 | 17.4 | 16.2 | 16.5 | 16.6 | 17.0 | 17.4 |
| | 12H | 16.2 | 16.5 | 16.7 | 17.0 | 17.4 | 16.2 | 16.5 | 16.6 | 16.9 | 17.4 |
| 8H | 4H | 16.2 | 16.5 | 16.6 | 17.0 | 17.4 | 16.3 | 16.6 | 16.7 | 17.0 | 17.4 |
| | 6H | 16.2 | 16.5 | 16.6 | 16.9 | 17.4 | 16.2 | 16.5 | 16.7 | 16.9 | 17.4 |
| | 8H | 16.2 | 16.4 | 16.6 | 16.9 | 17.4 | 16.2 | 16.4 | 16.6 | 16.9 | 17.4 |
| | 12H | 16.1 | 16.3 | 16.6 | 16.8 | 17.4 | 16.1 | 16.3 | 16.6 | 16.8 | 17.3 |
| 12H | 4H | 16.2 | 16.5 | 16.6 | 16.9 | 17.4 | 16.2 | 16.5 | 16.7 | 17.0 | 17.4 |
| | 6H | 16.1 | 16.4 | 16.6 | 16.8 | 17.3 | 16.2 | 16.4 | 16.7 | 16.9 | 17.4 |
| | 8H | 16.1 | 16.3 | 16.6 | 16.8 | 17.3 | 16.1 | 16.3 | 16.6 | 16.8 | 17.4 |
| Variations with the observer position at spacing: | | | | | | | | | | | |
| S = | 1.0H | 3.9 / -7.0 | | | | | 3.9 / -7.0 | | | | |
| | 1.5H | 6.5 / -9.3 | | | | | 6.5 / -9.3 | | | | |
| | 2.0H | 8.5 / -9.5 | | | | | 8.5 / -9.5 | | | | |